硫代草酸二乙二胺铬(Ⅲ)配合物的光化学

钱东金

(山东大学胶体与界面化学研究所,济南 250100) 吴一凡 陈 忠*

(扬州师范学院化学系,扬州 225002)

制备了铬(Π)的一个新配合物 cis-[Cr(en)₂SC₂O₃·Cl·H₂O,这里 en 表示乙二胺。在酸性水溶液中进行光照,释放 H₂S,生成 cis-Cr(en)₂(C₂O₄)[†],测定了光分解反应的准一级速度常数,配合物消失的量子产率取决于照射波长和溶液的酸度,还讨论了光反应机制。

关键词: 硫代草酸(O,S)二(乙二胺)铬(Ⅲ)配合物 光化学 量子产率 准一级反应动力学

引言

关于 cis 或 trans—Cr(en) $_2$ X $_2$ 类型配合物 ⁽¹⁾ (X = Cl⁻, Br⁻, F⁻, I⁻, SCN⁻, H $_2$ O, N $_3$, OH⁻, C $_2$ O $_4$ ⁻, 1/2C $_2$ O $_4$ ⁻)的合成、光谱、动力学和光化学已有许多的报道。A.D.Krik 研究了 [Cr(en) $_2$ OX]⁺和[Cr(en)(OX) $_2$]⁻水合离子的光分解,发现在光照过程中,上述配离子中的乙二胺与酸性水溶液中的氢离子结合,而草酸根仍与铬($_{\square}$)配位,最后光反应产物为 [Cr(en)(H $_2$ O) $_2$ (OX)] $_{aq}$ 。最近我们研究了[Cr(en) $_2$ (SC $_2$ O $_3$)]⁺配合物的合成、动力学和光化学,在 [Cr(en) $_2$ (SC $_2$ O $_3$)]⁺配离子中,配体 SC $_2$ O $_3$ ⁻是以不对称配位原子 O,S 与铬($_{\square}$)配位,而在 C $_2$ O $_4$ ⁻配合物中,配体 C $_2$ O $_4$ ⁻是以对称的配位原子氧与铬($_{\square}$)配位,实验表明这种具有不对称配位原子的配合物,在酸性水溶液中,无论在热反应和光反应时均发生不对称配位原子 S-Cr 键破裂。本文报道[Cr(en) $_3$ (SC $_2$ O $_3$)]⁺的光化学。

实 验

- 一.试剂 使用的所有化学药品均是化学纯和分析纯试剂。
- 二.仪器 821型 袖 珍 数 据 pH / 离 子 计; HP8451A UV-Vis分 光 光 度 计; Oriel 66002 200WHg-Xe 弧灯.
- 三.[Cr(en)2(SC2O3)]CI·H2O的合成

配体 $K_2SC_2O_3$ ⁽²⁾ 及配合物 cis— $Cr(en)_2Cl_2$ ⁽³⁾ 的合成均按文献方法。cis— $[Cr(en)_2(SC_2O_3)]Cl \cdot H_2O$ 的合成方法如下: 称取 lg cis— $[Cr(en)_2Cl_2]Cl \cdot H_2O$ 溶于 6ml 60 C 的热水中,得到紫红色透明溶液,再加入 0.8g $K_2SC_2O_3$,搅拌使其迅速溶解,立即用三号玻璃砂芯漏斗过滤,将滤液在 60 C 搅拌五分钟,即出现红色沉淀,用冰水浴冷却,抽滤,并用

本文于1992年2月22日收到。

国家自然科学基金资助项目.

^{*} 通讯联系人.

乙醇、乙醚洗涤,得到杏红色粉末状固体约 0.7g,将粗产品溶于极少量的 60℃的热水中,抽滤,用冰水冷却滤液,得到杏红色粉末状固体,用乙醇、乙醚洗涤,得到产品 0.2g,元素分析测试(理论)结果如下:

Cr:15.60(15.77); C:21.86(22.57); H:4.96(5.05); N:16.17(16.99); S:9.30(9.73). 四.分析方法

Cr(III)⁽⁴⁾ 和 $C_2O_4^{2-(5)}$ 的测定是按文献的方法。C、H、N、S 元素分析由山东大学化学研究所分析室测定,配合物中结晶水的测定是将配合物在 105℃的烘箱中烘干 4 小时,称重,计算失水的重量。

光分解产物 H_2S 的检测是用醋酸铅试纸、S 的测定是将光照溶液析出的硫沉淀分离,加王水溶解,向得到的溶液中加入 $BaCl_2$ 溶液,有白色的 $BaSO_4$ 生成。

五.光分解

光分解装置及光强度的测定与前文 $^{(6)}$ 报道的相同。2537Å的照射光源用医用紫外消毒灯,258nm 由于涉滤光片取得,而 $\lambda_{max}=406$ nm 和 540nm 的宽带照射光则分别采用 CuSO₄+NH₃·H₂O 和 CuCl₂·CaCl₂ 滤光液 $^{(7)}$,并使用冷却池作为溶液滤光器来取得上列照射波长。406nm 和 540nm 的光强使用雷纳克氏盐光化计测定 $^{(8)}$ 。

六.量子产率的计算.

用两种方法计算量子产率:

1.光密度法: 配离子 $[Cr(en)_2(SC_2O_3)]^{\dagger}$ 在水溶液中,光照时发生分解,产生 $[Cr(en)_2OX]^{\dagger}$ 及 H,S 气体,反应物在不同时间的浓度 C_1 可用下式计算:

$$C_{t} = \frac{A - \varepsilon_{2} C_{0}}{\varepsilon_{1} - \varepsilon_{2}} \tag{1}$$

式中 A 为光分解液在时间 t 以同样的样品暗反应为参比测得的光密度, C_0 为配合物的最初浓度, ϵ_1 和 ϵ_2 分别为配合物[Cr(en)₂(SC₂O₃]Cl·H₂O 和[Cr(en)₂OX]Cl 在波长 370nm 的摩尔消光系数。以 C_1 对光照时间 t 作图得一直线,从直线的最初斜率计算量子产率。

2.作图法:在光分解的较短时间内,可认为溶液只有两个组分: $[Cr(en)_2(SC_2O_3]^{\dagger}(A)$ 和 $[Cr(en)_2OX]^{\dagger}(B)$,采用二组分作图法 ⁽⁹⁾ ,可求得溶液中任一组分的百分含量.

七.光反应动力学常数的计算

由于在长时间光照过程中,有硫析出,从而干扰用分光光度法研究反应的动力学常数,我们采用文献的方法 $^{(10)}$,以 C_0-C_1 对 $\int C_1 dt$ 作图得一直线,该直线的斜率即为动力学常数 k (图 2).

结 果 和 讨 论

一.光分解反应及准一级速度常数

配合物在不同波长照射时,均发生光分解反应。图 1 为配合物在水溶液中, 经 CoSO₄ 滤光液的光照溶液吸收光谱的变化。在短时间照射时, 呈现三个等吸收点, 分别在 400nm、442nm 和 526nm, 说明发生了光分解反应。

实验中利用公式(1)及二组分作图法,求出反应物的瞬时浓度,以 C_0 - C_1 对 $\int C_1 dt$ 作图得到一条直线,表明光化学反应为准一级反应,用最小二乘法计算其斜率,即为准一级速度常

数 (图 2). 用光密度和作图法测得的不同照射波长,不同 pH 时的光分解反应准一级速度常数列于表 1.

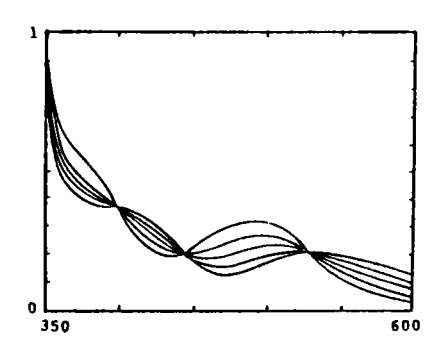


图 1 配合物的水溶液用 CoSO4 滤光液光照时吸收光谱的变化

Fig.1 Absorption spectra changes of the complex in aqueous solution irradiating with CoSO₄solution filter, irradiation time (from top to bottom) 0,15,40,70,110s

$$I_a = 5.21 \times 10^{-7}$$
 einstein S⁻¹ $C_0 = 6.54 \times 10^{-3}$ mol / L

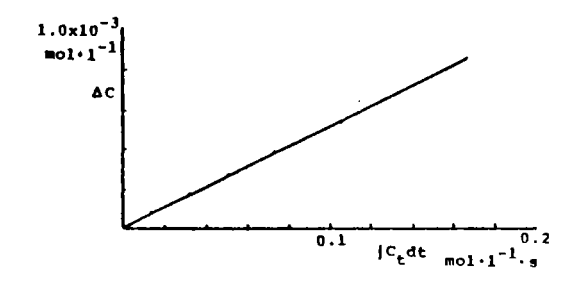


图 2
$$C_0-C_1$$
 对 C_1 也图

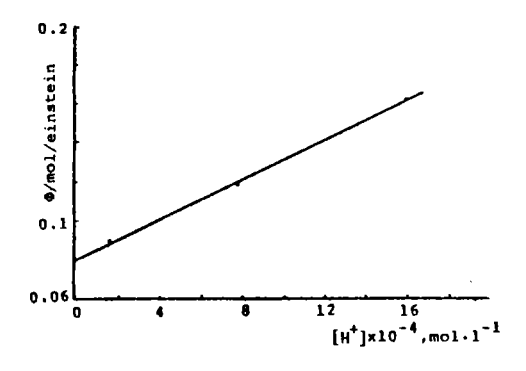
Fig. 2 Plot of C_0-C_1 vs C_1 C_1

pH = 3.1 $C_0=2.65\times 10^{-3}$ mol·L⁻¹
 $I_a=3.96\times 10^{-7}$

irradiation condition: CoSO₄ filter

图 3 Φ 值随[H[†]]的变化

Fig. 3 Change of Φ value with [H⁺] irradiation condition: CoSO₄filter $I_0 = 5.42 \times 10^{-7}$ einstein • s⁻¹



从表中数据可见, 光分解的准一级速度常数 k 与溶液 pH 值及人射光波长有关, pH 值增大, k 值减小。溶液吸收光越强, k 值越大, 人射光波长越短, k 值越大。

二.光分解的量子产率

不同 pH 溶液在不同波长光照时,配合物消失的量子产率列于表 2, 从表 2 数据可见,量子

产率 Φ 随 pH 值增加而减小, 随照射光波长的减短而增大。

表 3 和图 3 表示不同 pH 时,以 CoSO₄ 滤光液光照,配合物消失的量子产率随 pH 的变化。从表 3 和图 3 可见,配合物消失的量子产率随 pH 的增加而减小,量子产率 Φ 与酸度的关系可表示为 $\Phi = a[H^{\dagger}] + b$,其中 $a = 49.12 \text{einstein}^{-1}$, $b = 0.081 \text{mol} \cdot \text{einstein}^{-1}$ 。

表 1 光分解反应的准一级速度常数 (25℃)

Table 1	Pseudo First	Order Rate	Constants for	Photol ¹	ysis Reaction	(25°C))

	irradiation wavelength nm	C×10 ⁻³ mol/1	I×10 ⁻⁸ einstein • s ⁻¹	k×10 ⁴ s ⁻¹		
pН				OD	plotting	
2.8	253.7	3.56	0.983 ± 0.014	2.24 ± 0.10	2.28 ± 0.02	
	258	3.25	0.901 ± 0.014	1.78 ± 0.14	1.81 ± 0.03	
	$\lambda_{\text{max}} = 310$	3.81	43.8 ± 0.4	60.3 ± 0.2	66.4 ± 2.2	
	$\lambda_{\text{max}} = 360$	4.45	56.9 ± 2.4	61.6 ± 0.9	63.2 ± 0.4	
	$\lambda_{\max} = 406$	3.78	90.7 ± 6.0	77,8 ± 3.5	83.2 ± 7.0	
	$\lambda_{\text{max}} = 540$	8.30	15.2 ± 0.3	3.99 ± 0.12	4.78 ± 0.30	
3.8	258	2.95	0.712 ± 0.004	0.964 ± 0.022	0.960 ± 0.016	
	$\lambda_{\text{max}} = 310$	4.20	39.2 ± 1.4	35.3 ± 1.0	35.2 ± 1.8	
	$\lambda_{\text{max}} = 360$	2.99	47.7 ± 1.7	35.1 ± 0.1	34.8 ± 0.4	
	$\lambda_{\text{max}} = 406$	2.93	90.7 ± 6.0	45.2 ± 0.2	50.0 ± 0.7	
	$\lambda_{\text{max}} = 540$	4.71	22.6 ± 1.2	3.64 ± 0.11	3.68 ± 2.4	
5.0	253.7	3.56	0.983 ± 0.014	0.970 ± 0.009	0.932 ± 0.034	
	258	3.49	0.884 ± 0.030	0.819 ± 0.032	0.920 ± 0.012	
	$\lambda_{\text{max}} = 310$	3.62	43.8 ± 0.4	38.2 ± 1.3	41.4 ± 0.1	
	$\lambda_{\text{max}} = 360$	4.37	57.9 ± 1.6	33.2 ± 0.2	34.8 ± 0.3	
	$\lambda_{\text{max}} = 406$	2.55	90.7 ± 6.0	46.8 ± 0.1	42.8 ± 0.9	
	$\lambda_{\text{max}} = 540$	8.10	9.57 ± 0.11	1.15 ± 0.05	1.30 ± 0.20	

表 2 [Cr(en)₂(SC₂O₃][†]消失的量子产率(mol·einstein⁻¹)(25℃室温)

Table 2 Disappearance Quantum Yields(mol • einstein⁻¹) for [Cr(en)₂(SC₂O₃)]⁺

at Room Temperature ,25°C irradiation pH = 2.8pH = 3.8pH = 5.0wavelength OD plotting OD plotting OD plotting nm 0.224 0.234 0.102 0.100 253.7 ±0.007 ± 0.009 ± 0.001 ± 0.002 0.105 0.190 0.128 0.120 0.098 0.219 258 ± 0.007 ± 0.005 ±0.012 ± 0.008 ± 0.003 ± 0.002 0.178 0.1090.109 0.095 0.099 0.170 $\lambda_{\rm man} = 310$ ± 0.001 ± 0.003 ± 0.003 ± 0.005 ± 0.004 ± 0.002 0.080 0.084 0.160 0.156 0.092 0.094 $\lambda_{\text{max}} = 360$ ± 0.001 ±0.014 ±0.002 ± 0.002 ± 0.001 ± 0.001 0.147 0.155 0.082 0.090 0.073 0.072 $\lambda_{\text{man}} = 406$ ±0.012 ± 0.001 ± 0.001 ± 0.001 ±0.001 ± 0.006 0.052 0.049 0.048 0.110 0.122 0.053 $\lambda_{\text{max}} = 540$ ± 0.005 ± 0.001 ± 0.002 ± 0.001 ± 0.001 . ± 0.005

表 3 [Cr(en)₂(SC₂O₃)][†]消失的量子产率随 pH 的变化(25℃ 室温, CoSO₄ 滤光)

Table 3 Disappearance Quantum Yield Change with pH (Room Temperature, 25°C CoSO₄Filter)

[H ⁺] mol/L	1.6×10^{-3}	7.9×10^{-4}	1.6×10^{-4}	~10 ⁻⁵
рН	2.8	3.1	3.8	5.0(水)
Фmol∕einstein	0.160 ± 0.001	0.117 ± 0.003	0.092 ± 0.002	0.080 ± 0.001

三.光分解时溶液 pH 的变化

图 4 表示用通过冷却的白光光分解时,溶液 pH 值随照射时间的变化。图中曲线 a 为配合物在水溶液中光分解时 pH 值的变化。从曲线 a 可见,pH 值随照射时间的增加先是减小再增大,说明光化学反应先有 H_2 S 气体放出(H_2 S 气体可用醋酸铅试纸检出),从而增加了水溶液的酸度,然后再释放乙二胺,并使溶液 pH 升高。曲线 b 为光分解 pH = 2.8 的酸性溶液,pH 值随光照时间的变化。由图可见,光分解溶液的 pH 随照射时间的增加而增大,这是因为在酸性溶液中,产生的 H_2 S 气体易于释放,量子产率较高,随着乙二胺的释放,使 pH 值增加较快。

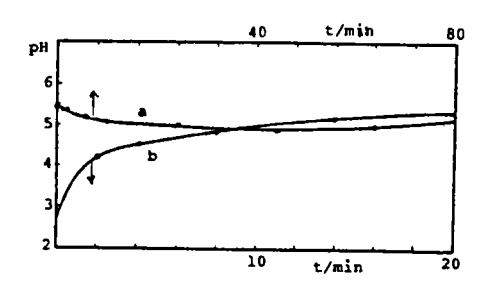


图 4 光分解溶液 pH 随照射时间的变化

Fig. 4 Change of pH for photolysis solution with time a-distilled water pH = 5.0 b-pH = 2.8

根据我们对配合物 $Cr(en)_2(SC_2O_3)^{\dagger}$ 热反应和光反应的研究结果,其反应机制是一致的,在酸性水溶液中首先是放出 H_2S ,但在溶液中并不能检验出 $C_2O_4^{2-}$,这可能是因为铭(Π)与双齿配体草酸根离子具有强键,使草酸根离子不发生明显的解离,生成了 $Cr(en)_2(OX)^{\dagger}$,随着光分解的进行,溶液 pH 升高,可以说明,该配合物的光分解的方式与 A.D.Krik 等报告的结果是一致的,关于这一反应的方式, A.D.Krik 已作了讨论。

在配合物 $Cr(en)_2(SC_2O_3)^+$ 中,配体 $SC_2O_3^-$ 具有不对称配位原子(O,S)与铬(\square)配位,这种具有不对称配位原子的配合物,在酸性水合机制中很容易通过结合一个 H^+ 形成共轭酸,然后再通过慢反应解离。由于配离子具有不对称配位原子,Cr—O 键与 Cr—S 键相比,S 的电负性小于 O 原子,因此 Cr—O 键较 Cr—S 键稳定,同时由于配位原子硫结合一个 H^+ 后,增加了它的正电荷,因此易发生 Cr—S 键的破裂,热反应和光反应的方式可表示如下:

A.D.Krik 研究 $Cr(en)_2OX^+$ 热反应和光反应时也认为可能形成了 $Cr(en)_2(H_2O)OXH$ 中间物 $^{(2)}$,这种观点与我们的上述讨论是一致的。

根据实验结果及上面的讨论,我们建议在酸性水溶液中光反应的机制如下(\triangle :释放的能量,M 为溶剂):

$$[\operatorname{Cr}(\operatorname{cn})_2 \operatorname{SC}_2 \operatorname{O}_3]^{+} \longrightarrow [\operatorname{Cr}^{+}(\operatorname{en})_2 \operatorname{SC}_2 \operatorname{O}_3]^{+}$$
(2)

$$[\operatorname{Cr}^{\bullet}(\operatorname{en})_{2}\operatorname{SC}_{2}\operatorname{O}_{3}]^{+} \xrightarrow{k_{L}} [\operatorname{Cr}(\operatorname{en})_{2}\operatorname{SC}_{2}\operatorname{O}_{3}]^{+} + \triangle$$
(3)

$$[\operatorname{Cr}^{\bullet}(\operatorname{en})_{2}\operatorname{SC}_{2}\operatorname{O}_{3}]^{+}+\operatorname{M} \longrightarrow [\operatorname{Cr}(\operatorname{en})_{2}\operatorname{SC}_{2}\operatorname{O}_{3}]^{+}+\operatorname{M}(\operatorname{E})$$
(4)

$$[\operatorname{Cr}^{\bullet}(\operatorname{en})_{2}\operatorname{SC}_{2}\operatorname{O}_{3}]^{+} + \operatorname{H}^{+} \longrightarrow [\operatorname{Cr}^{\bullet}(\operatorname{en})_{2}(\operatorname{HSC}_{2}\operatorname{O}_{3}]^{2+}$$
(5)

$$[Cr^{*}(cn)_{2}(HSC_{2}O_{3})]^{2+} + H_{2}O \longrightarrow [Cr(cn)_{2}OX]^{+} + H_{2}S + H^{+}$$
(6)

$$k_3$$

$$[Cr^{\bullet}(en)_2SC_2O_3]^{+} + H_2O \longrightarrow [Cr(en)_2OX]^{+} + H_2S$$
(7)

$$2H_2S + O_2 \longrightarrow 2H_2O + 2S \tag{8}$$

进一步的反应为 (1)

$$[Cr(en)2OX]++H++H2O\longrightarrow [Cr(en)(enH)(H2O)OX]2+$$
(9)

$$[Cr(cn)(cnH)(H_2O)OX]^{2^+}+H^++H_2O\longrightarrow [Cr(cn)(H_2O)_2OX]^++cnH_2^{2^+}$$
 (10)

最终产物从吸收光谱的测定被确定为[Cr(H2O)4OX]+。

设 (Cr $^{\bullet}$) 表示[Cr $^{\bullet}$ (en) $_2SC_2O_3]^{\dagger}$ 的浓度,[Cr]表示[Cr(en) $_2SC_2O_3]^{\dagger}$ 的浓度,则

$$d[Cr^*] / dt = I_a - k_1[Cr^*] - k_m[Cr^*] - k_1[Cr^*][H^+] - k_3[Cr^*]$$
(11)

根据稳态理论 d[Cr*]/dt=0

$$: [Cr^*] = Ia / (k_L + k_M + k_1[H^+] + k_3)$$
 (12)

反应物[Cr(en),SC,O,]†浓度的变化为

$$-d (Cr) / dt = I_a - k_L (Cr^*) - k_m (Cr^*)$$

$$= I_a - (k_L + k_m) \cdot I_a / (k_L + k_m + k_1 (H^+) \cdot + k_3)$$

$$= \frac{I_a k_3}{k_L + k_m + k_1 (H^+) + k_3} + \frac{I_a k_1}{k_L + k_m + k_1 (H^+) + k_3} (H^+) (13)$$

因[H⁺]很小,则

$$k_{\rm L} + k_{\rm m} + k_{\rm 1} [{\rm H}^+] + k_{\rm 3} \approx k_{\rm L} + k_{\rm m} + k_{\rm 3}$$

$$= 7.7 \pm 27.$$
(14)

重子产率
$$\Phi = \frac{V}{I} \cdot \frac{dC}{dt}$$

$$= \frac{Vk_3}{k_L + k_m + k_3} + \frac{Vk_1}{k_L + k_m + k_3} [H^+]$$

$$= a (H^+) + b$$
(15)

式中a为量子产率 Φ 与 $[H^{\dagger}]$ 关系图中的斜率,b为截距。

$$a = Vk_1 / (k_1 + k_m + k_3) \tag{16}$$

$$b = Vk_3 / (k_1 + k_m + k_3) \tag{17}$$

理论推导方程与实验结果一致。

致谢: 美国南加州大学 Arthur.W.Adamson 教授建议合成该配合物并进行光化学研究, 特此致谢。

参考文献

- [1] Krik, A.D., Moss, K.C., Valentin, J.G., Can. J. Chem., 49, 1524(1971).
- [2] Leitheiser, M., Couconvanis, D., J. Inorg. Nucl. Chem., 39, 811(1977).
- [3] Pedersen, E., Acta Chem. Scand., 24, 3367(1970).
- [4] Haupt, G. J., Res. Natl. Bar. sta nd. (U.S), 48,414(1952).
- [5] Buriel-Marti, F. et al., Anal. Chem., 25, 583(1953).
- [6] 陈 忠、张静智、丁世良、沈晋明, 科学通极, 1,37(1988).
- [7] Calvert, J. C., Pitts, J. N., Photochmistry, P. Wiley, New York, 1966.
- [8] Wegner, E.E., Adamson, A. W., J. Amer. Chem. Soc., 88, 394(1966).
- [9] 陈 忠, 无机化学, 2,21(1986).
- [10] (德)H.J., 比特里希, D. 哈佰兰德, G. 尤斯特著, 陆震淮译, 化学动力学计算方法, 北京, 高等教育出版社, (1987).

PHOTOCHEMISTRY OF (THIOOXALATO-O,S) BIS(ETHYLENEDIAMINE) CHROMIUM(Ⅲ) COMPLEX

Qian Donjin

(The Institute of Colloid and Surface Chemistry of Shandong University, Jinan 250100)

Wu Yifan

Chen Zhong

(Department of Chemistry, Yangzhou Teacher's College, Yangzhou 225002)

A new complex of Cr(III), cis- $[Cr(en)_2(SC_2O_3)]Cl \cdot H_2O$, where en denotes ethylenediamine, was prepared. The irradiation of cis- $[Cr(en)_2(SC_2O_3)]$ in acidic solution leads to release of H_2S , producing cis- $Cr(en)_2(C_2O_4)^{\dagger}$. The pseudo-first order rate constants of photoreaction were determined. The quantum yield of disappearance for the complex depends on irradiation wavelengths and acidity of solution. Photoreaction mechanism is discussed.

Keywords:

(thiooxalato-O,S)bis(ethylenediamine)chromium(III)complex

photochemistry

quantum yield

pseudo-first order rate constant